



Figura 34.- Corte histológico mostrando en el camarón juvenil *L. vannamei* lesión necrótica multifocal difusa de la epidermis. Fase aguda. Teñidas con Hematoxilina-Eosina-Floxina (H&E&F) 1,000X Brote 1995.

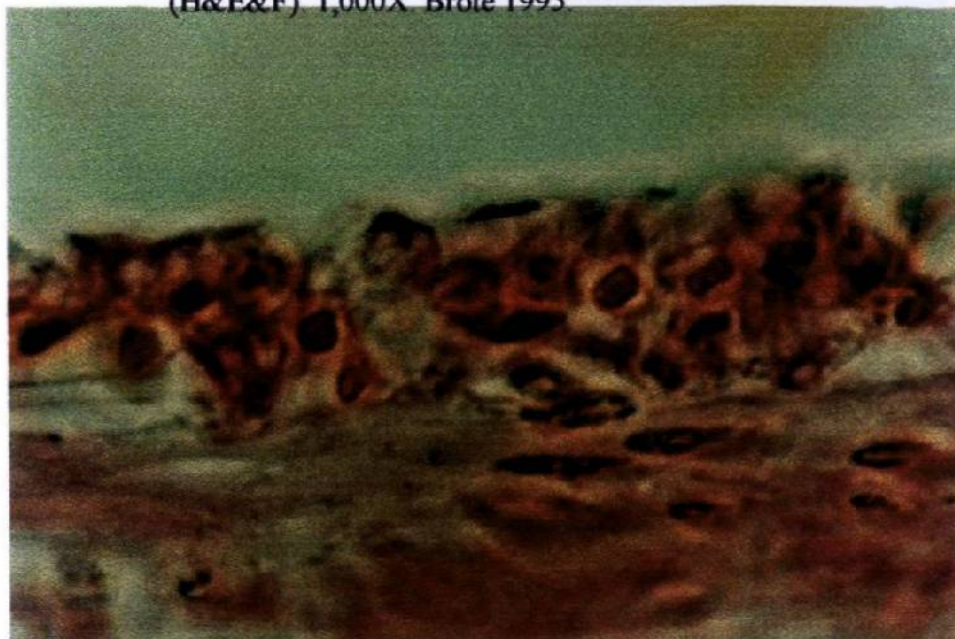


Figura 35- Corte histológico del epitelio cuticular de un camarón juvenil *L. vannamei* en fase aguda del síndrome Taura con disolución de las células del epitelio epidérmico y necrosis celular. Fase aguda. Teñidas con HematoxilinaEosina-Floxina (H&E&F). 1,000X. Brote 1995.

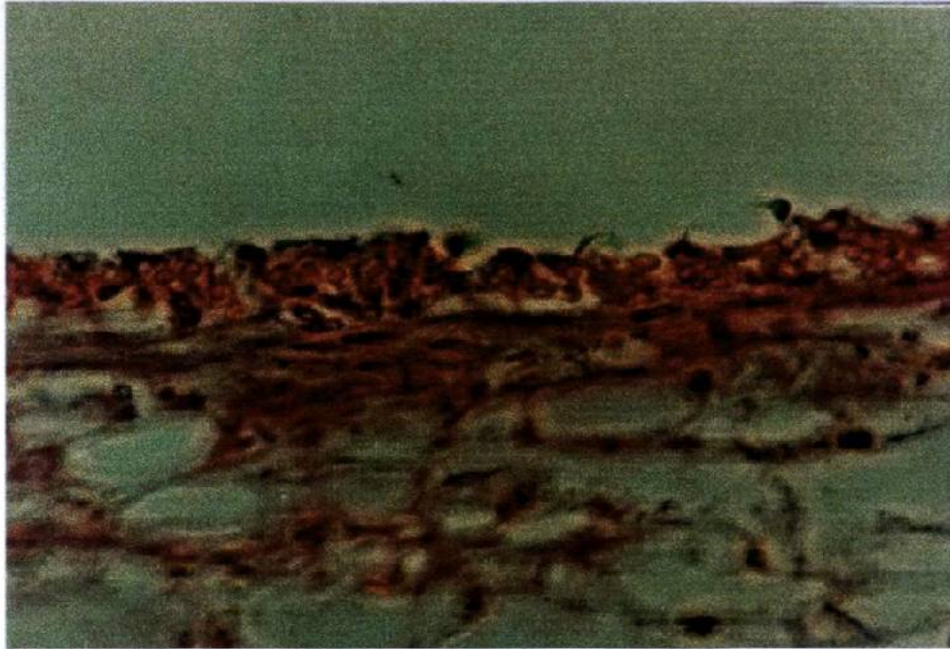


Figura 36.- Corte histológico del epitelio cuticular de un camarón juvenil *L. vannamei* en fase aguda del síndrome Taura con necrosis multifocal del epitelio cuticular. Fase aguda. Teñidas con Hematoxilina-Eosina-Floxina (H&E&F). 1,000X. Brote 1995.

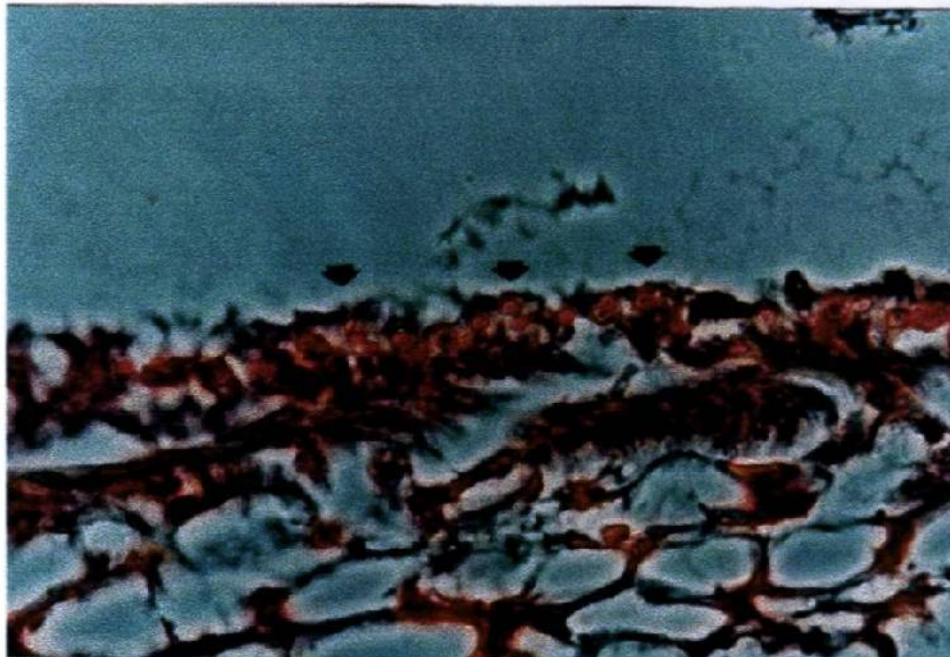


Figura 37.- Corte histológico del epitelio cuticular de un camarón juvenil *L. vannamei* en fase aguda del síndrome Taura con cuerpos esféricos citoplasmáticos y necrosis severa. Fase aguda. Teñidas con Hematoxilina-Eosina-Floxina (H&E&F). 1,000X. Brote 1995.



Figura 38.- Corte histológico del epitelio cuticular a nivel de un pleópodo de un camarón juvenil *L. vannamei* con eosinofilia citoplasmática y cariorexis. Fase aguda. Teñidas con Hematoxilina-Eosina-Floxina (H&E&F). 1,000X. Brote 1995.



Figura 39.- Corte histológico del epitelio branquial de un camarón juvenil *L. vannamei* en fase aguda del síndrome Taura con necrosis leve. Fase aguda. Teñidas con Hematoxilina-Eosina-Floxina (H&E&F). 1,000X. Brote 1995.



Figura 40.- Corte semifino del epitelio cuticular de un camarón juvenil *L.vannamei* en fase aguda del Síndrome Taura con desorganización celular. Fase aguda. Teñidas con Azul de Toluidina-Fucsina Básica. 800X. Brote 1995.

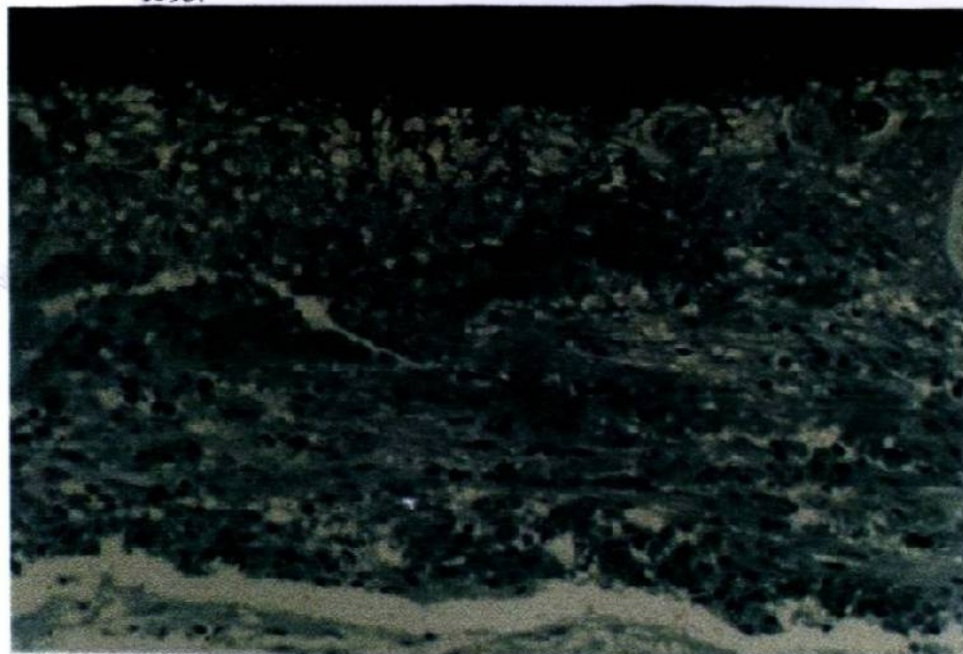


Figura 41.- Corte semifino del epitelio cuticular de un camarón juvenil *L.vannamei* en fase aguda del síndrome Taura con picnosis. Fase aguda. Teñidas con Azul de Toluidina-Fucsina Básica. 800X. Brote 1995.

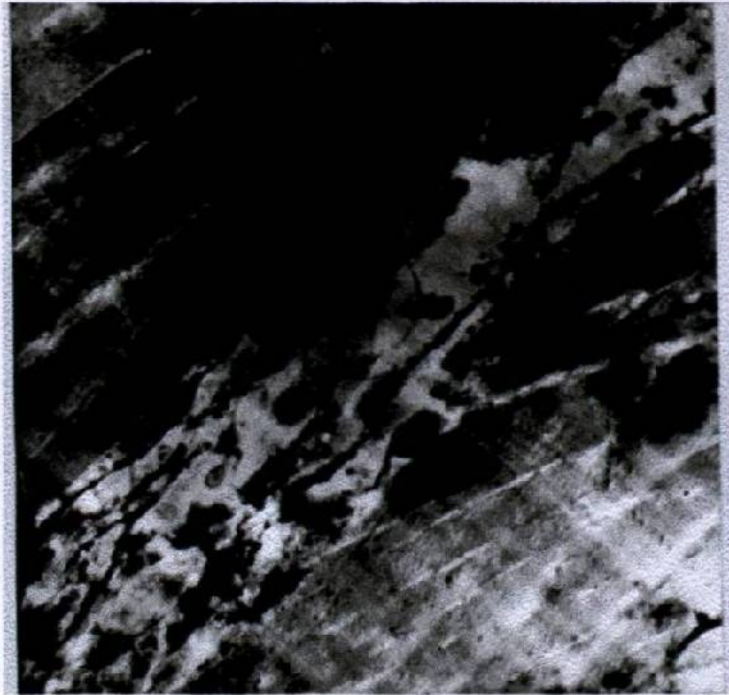


Figura 43.-Corte longitudinal a través de la zona muscular de *L. vannamei*. Se observa necrosis muscular. MET. Fase aguda. 100,000X. Brote 1995.



Figura 44.-Corte longitudinal a través de la zona epidérmica y muscular de *L. vannamei*. Se observa necrosis multifocal del epitelio cuticular, con cuerpos esféricos citoplasmáticos. Fase aguda. 100, 000X. Brote 1995.

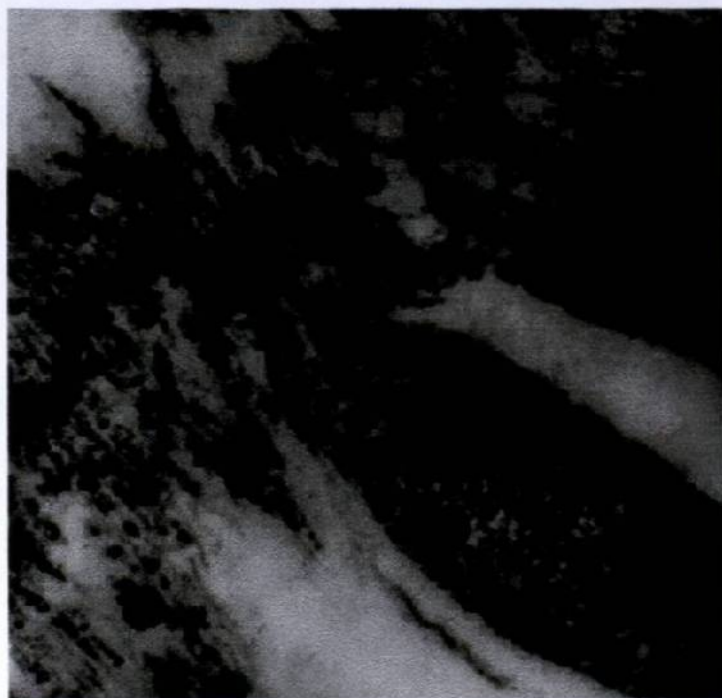


Figura 45.-Microfotografía que muestra el músculo necrosado de *L. vannamei*. Se observan cuerpos esféricos entre el tejido muscular. MET. Fase aguda. 100,000X. Brote 1995.

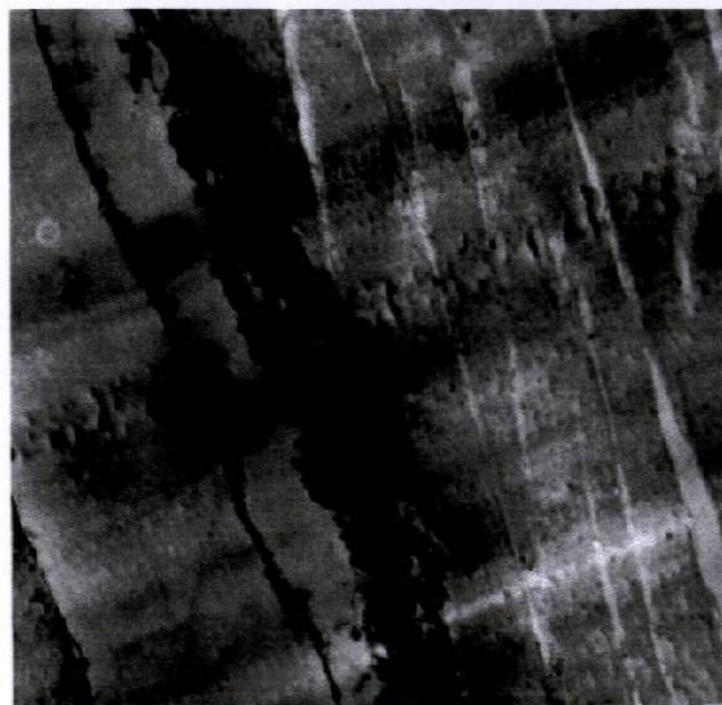


Figura 46.-Microfotografía que muestra epitelio muscular con cristales presumiblemente de fosfato de calcio. MET. Fase aguda. 100,000X. Brote 1995.

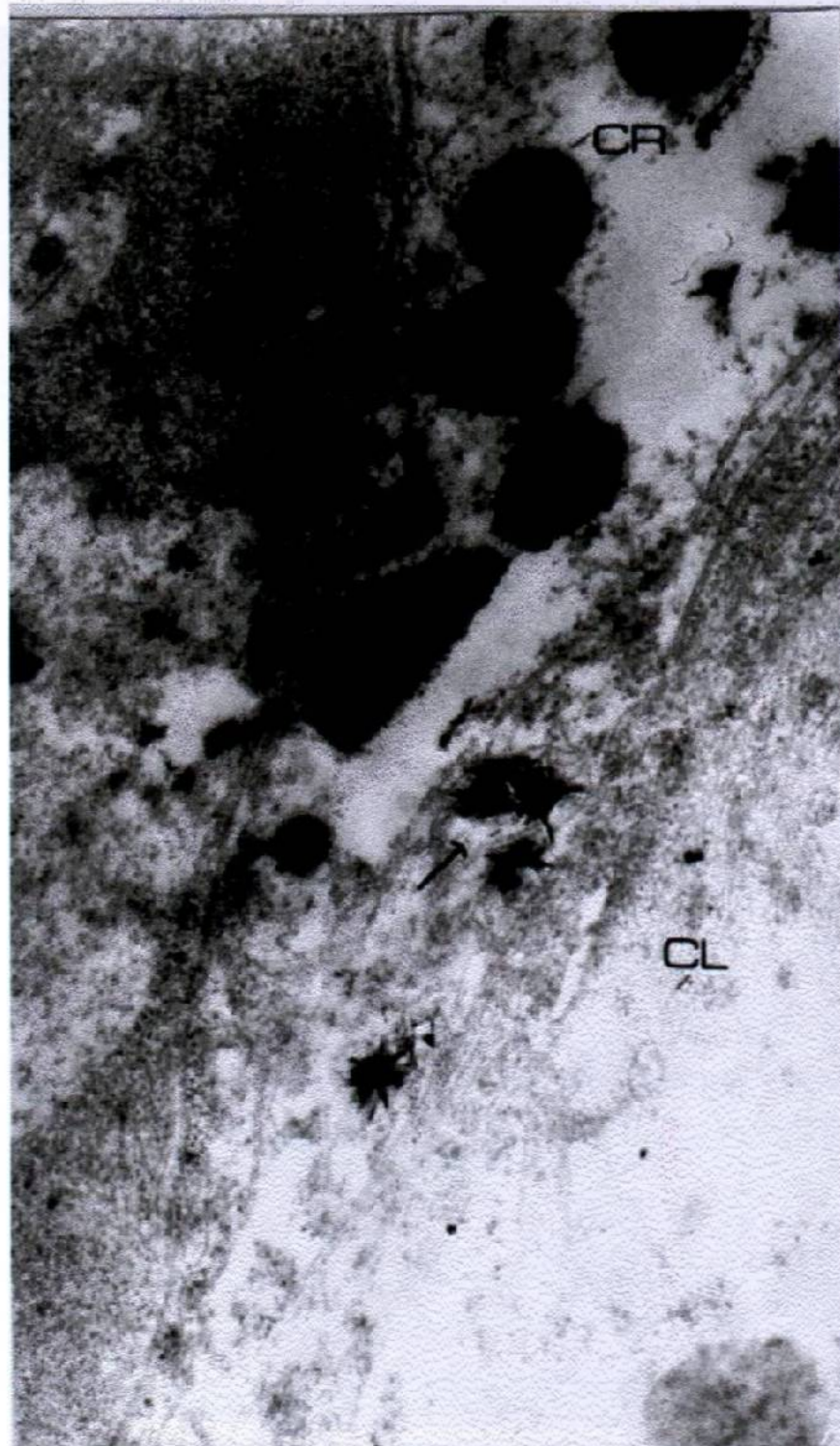


Figura 47.-Corte del epitelio cuticular donde se observan cristales, necrosis epidérmica y cuerpos esféricos citoplasmáticos de aproximadamente 30-32 nm de diámetro. MET. Fase aguda. 100,000X. Brote 1995.



Figura 48.-Camarón juvenil *L. vannamei* afectados en el inicio de la fase transicional del síndrome Taura. Se observa una lesión externa en el tercer segmento abdominal. Fase de transición. En Vivo. Brote 1995.

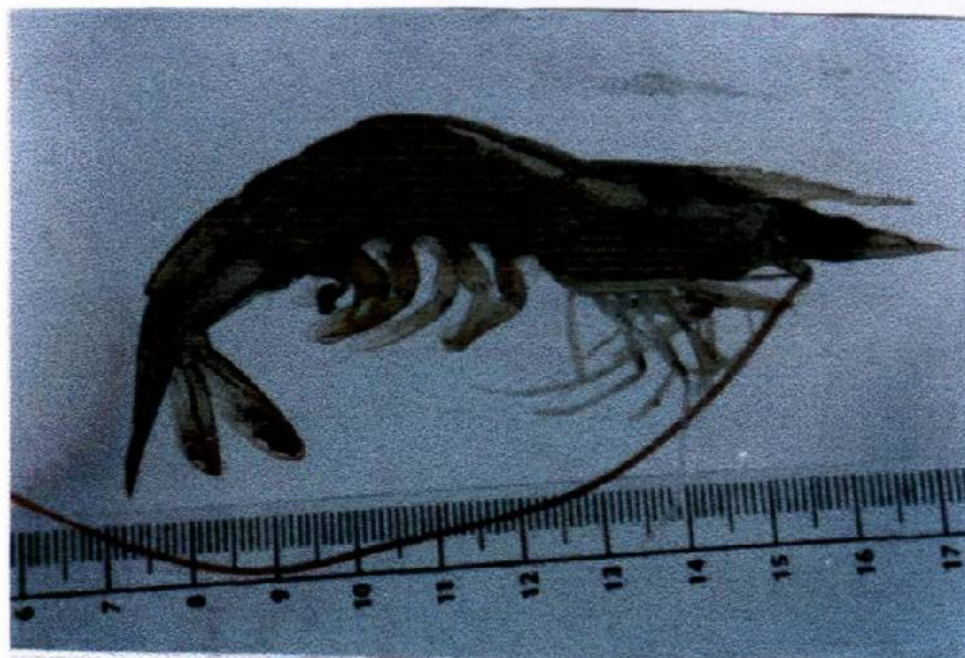


Figura 49.-Camarón juvenil *L. vannamei* en el inicio de la fase transicional del síndrome Taura. Se observa un pleópodo manchas negras al nivel del quinto segmento abdominal, . Fase de transición. Brote 1995.





Figura 50- Camarón juvenil *L. vannamei* con lesiones externas en el exoesqueleto al nivel de la cabeza y abdomen. En Vivo. Fase de transición. Brote 1995.



Figura 51.-Camarones juveniles *L. vannamei* con lesiones cuticulares multifocales melanizadas en todo el cuerpo. En Vivo. Fase de transición. Brote 1995.



Figura 52.-Vista dorsal de *L. vannamei* con melanización y lesiones externas en todo el cuerpo. En Vivo. Fase de transición. Brote 1999.

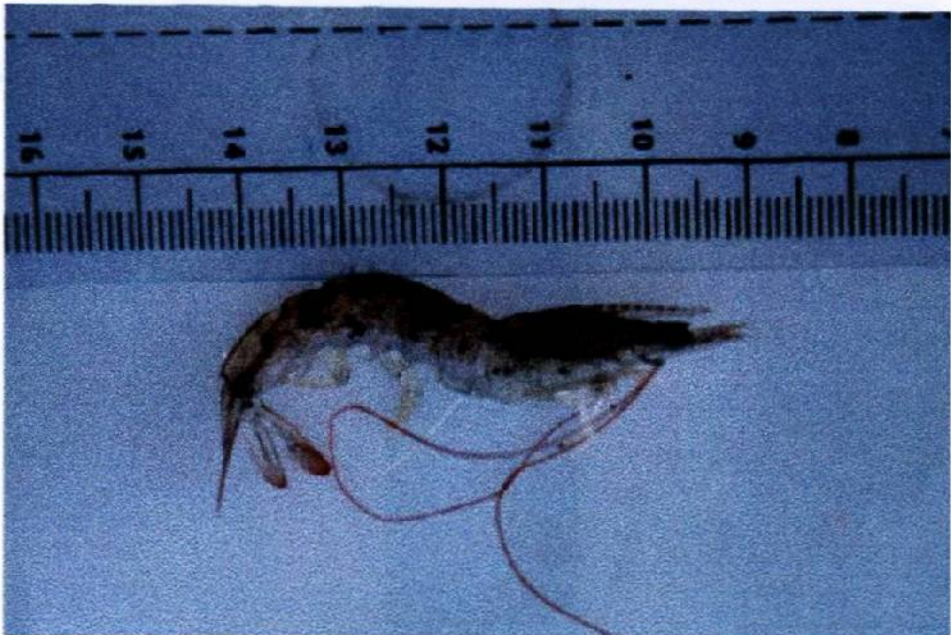


Figura 53.-Vista lateral de *L. vannamei* con focos melanizados severos, exoesqueleto con manchas negras, antenas y cola roja. En Vivo. Fase de transición. Brote 1999.



Figura 54. Camarón con lesiones externas típicas de la fase transicional. Fijados en Formol al 10%. Fase de transición. Brote 1995.



Figura 55.-Camarones juveniles *L. vannamei* de diferente tamaño y afectados por focos melanizados en la mayor parte del cuerpo. Fijados en formol al 10%. Fase de transición. Brote 1995.

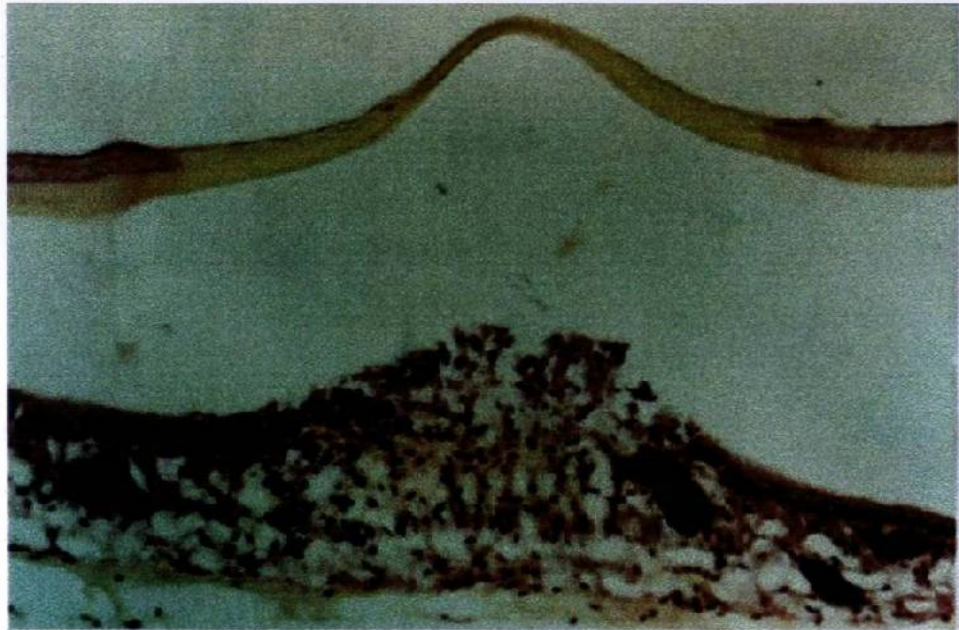


Figura 56.-Corte histológico de un camarón juvenil *L. vannamei* con necrosis multifocal difusa de epicutícula, exocutícula y endocutícula. Fase de transición. Teñidas con Hematoxilina-Eosina-Floxina (H&E&F). 1,000X. Brote 1995.

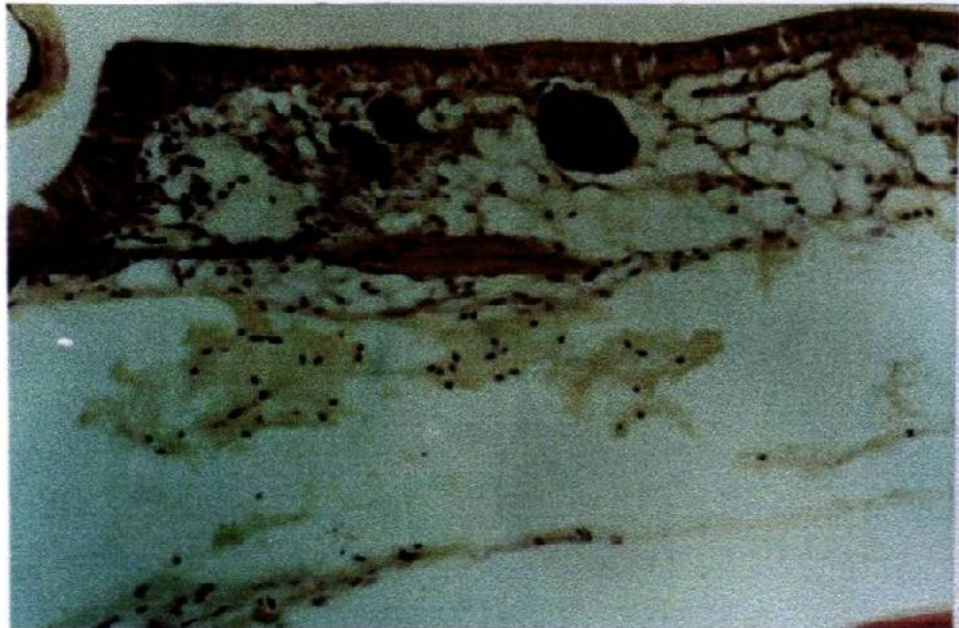


Figura 57.-Corte histológico de un camarón juvenil *L. vannamei* desorganización del epitelio epidérmico. Nódulos hemocíticos y necrosis multifocal difusa de las tres capas del exoesqueleto. Fase de transición. (H&E&F). 1,000X. Brote 1995.



Figura 58.-Corte histológico a través de las lamelas branquiales de *L. vannamei* con necrosis multifocal severa en todo el tejido. Fase de transición. (H&E&F). 800X. Brote 1999.

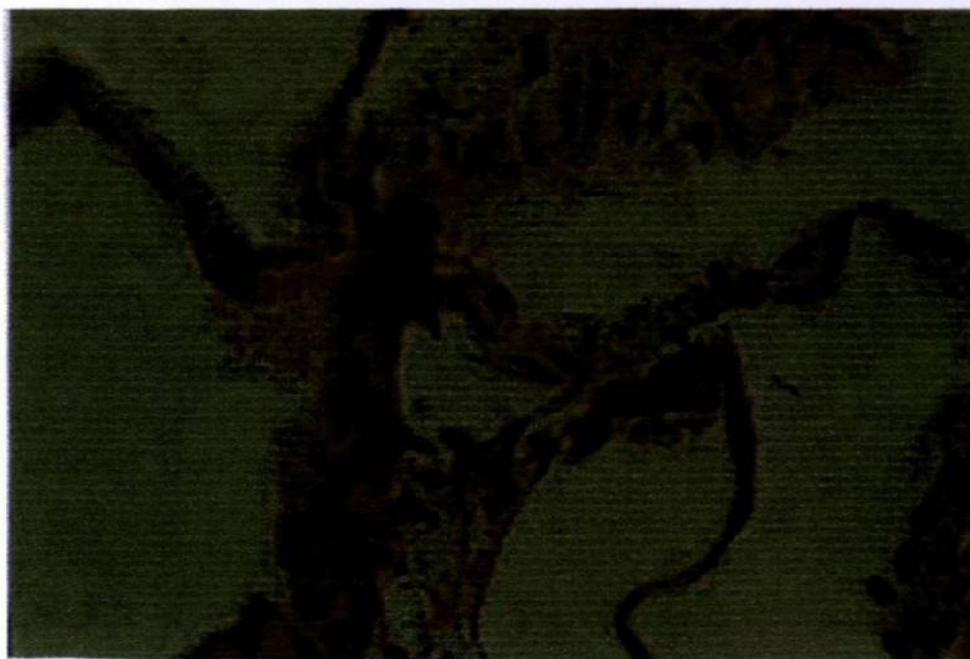


Figura 59.-Corte histológico a través de las lamelas branquiales de *L.vannamei* con hipertrofia nuclear e inflamación tisular. Fase de transición. (H&E&F). 800X. Brote 1999.

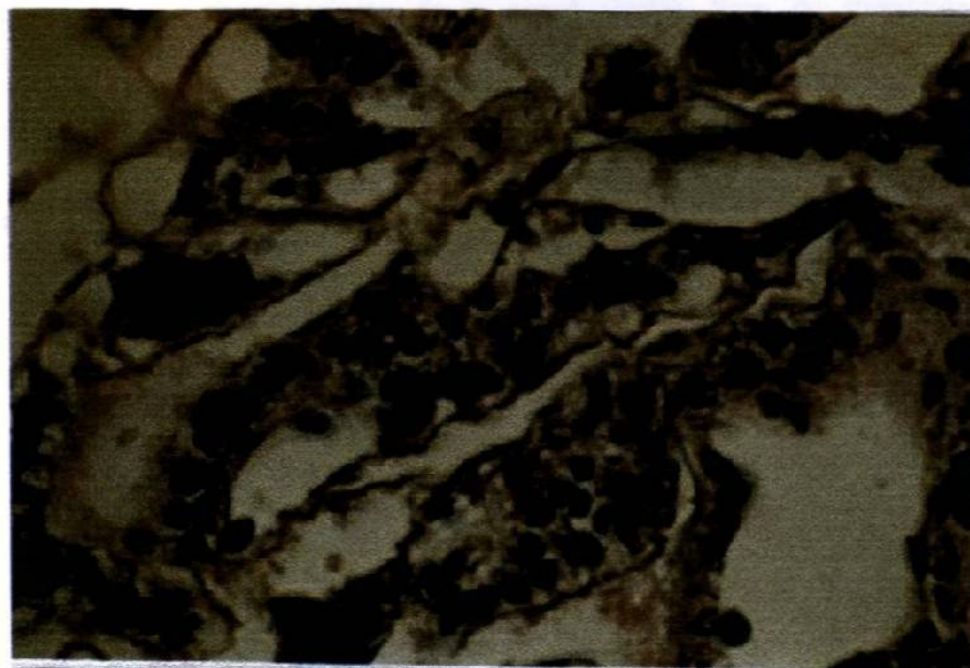


Figura 60.-Corte histológico a través del músculo y lamelas branquiales de *L. vannamei* con desprendimiento del tejido de los arcos branquiales, hipertrofia nuclear y cuerpos citoplasmáticos. Fase de transición. (H&E&F). 800X. Brote 1999.

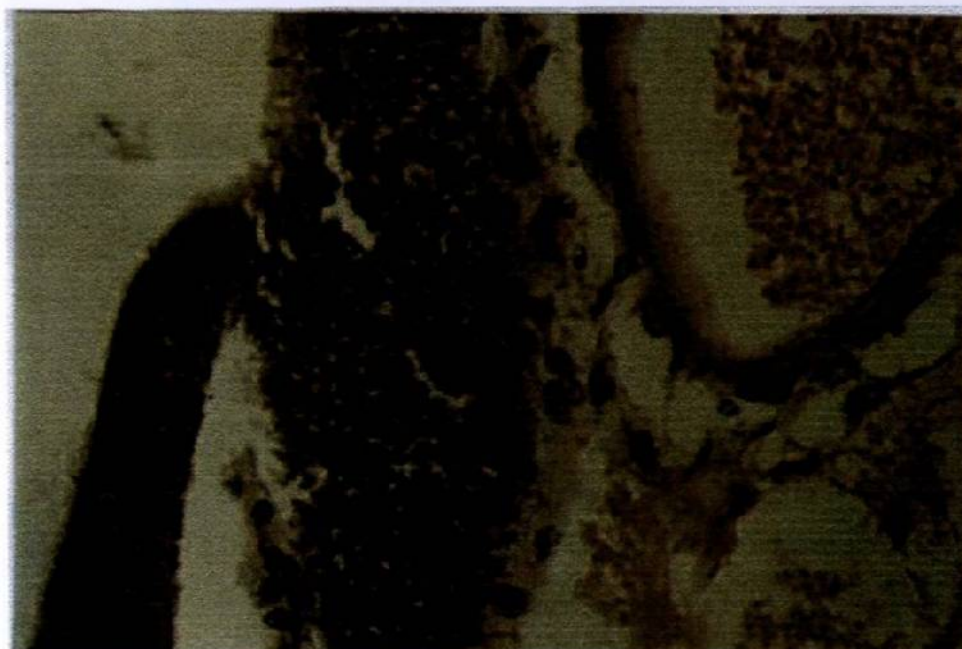


Figura 61.- Corte histológico de epitelio intestinal con lesión picnótica y engrosamiento de la pared tisular. Fase de transición. (H&E&F). 3,000X. Brote 1999.

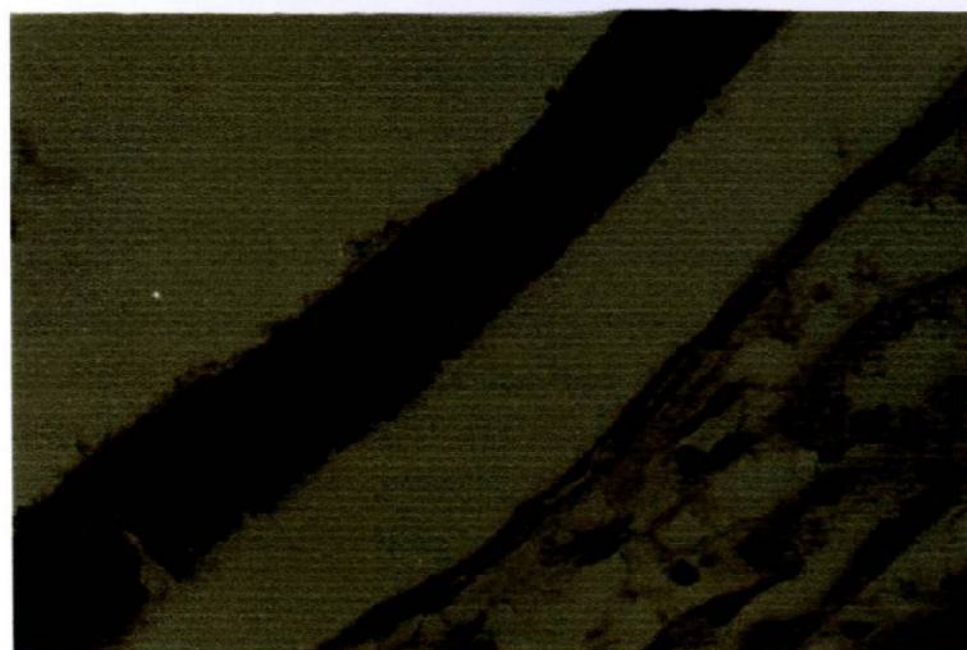


Figura 62.- Corte histológico de epitelio intestinal con lesión carioréxica y separación tisular de órganos adyacentes. Fase de transición. (H&E&F). 3,000X. Brote 1999.

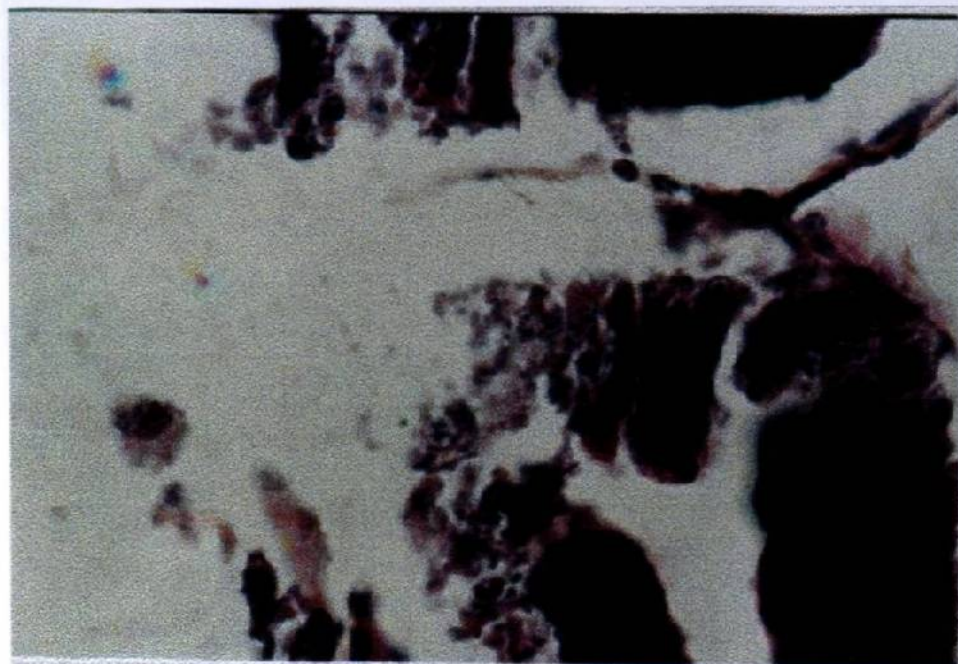


Figura 63.- Corte histológico de epitelio intestinal con necrosis multifocal e hipertrofia nuclear. Fase de transición. (H&E&F). 3,000X. Brote 1999.

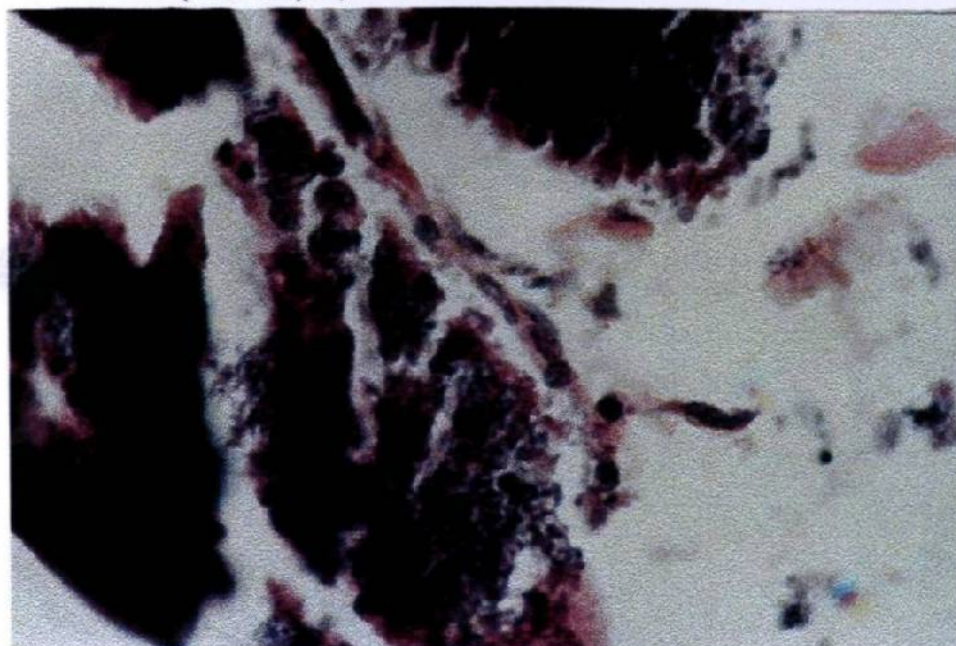


Figura 64.- Corte histológico de epitelio intestinal con lesión severa de enterocitos con fragmentación nuclear. Fase de transición. (H&E&F). 3,000X. Brote 1999.



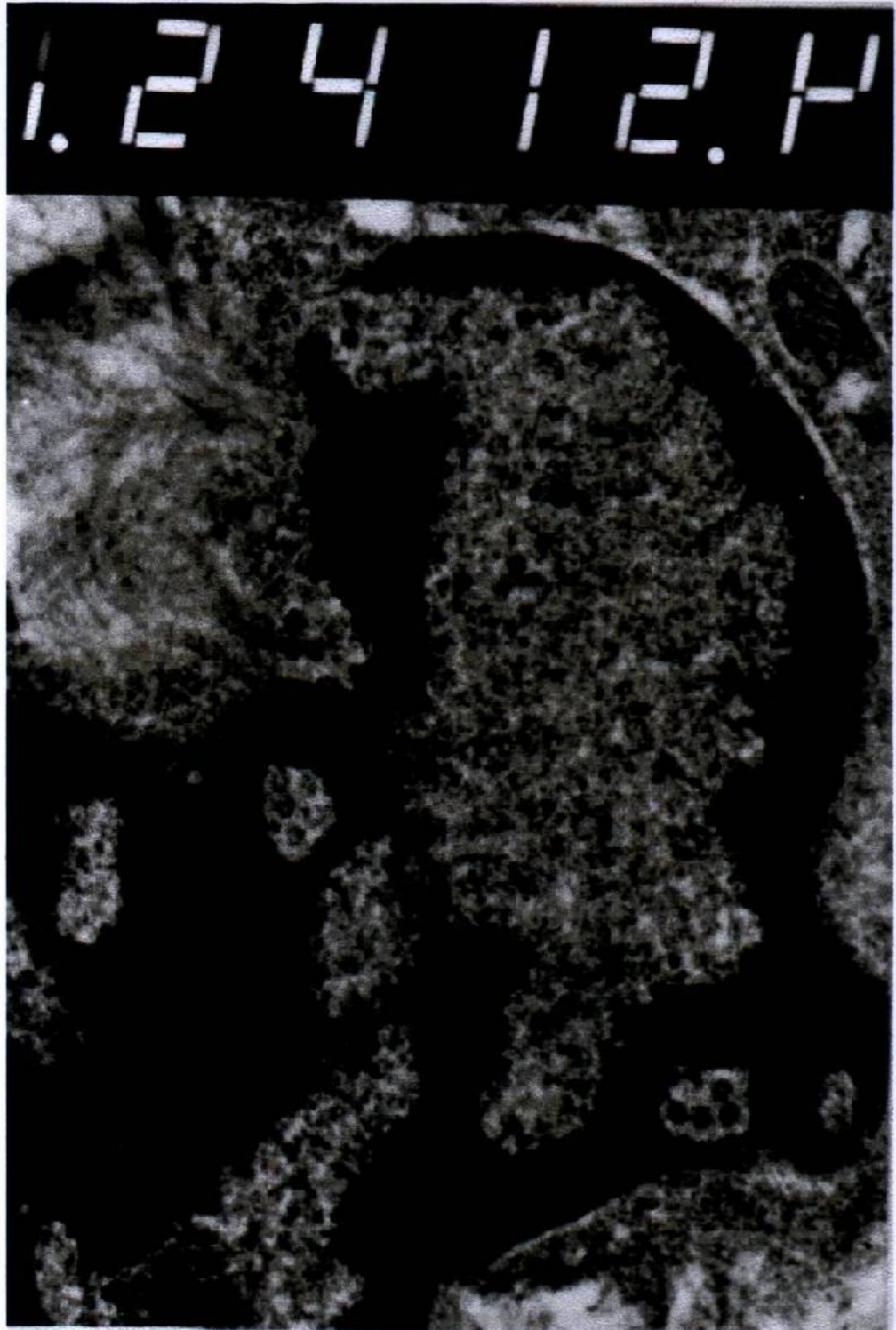


Figura 65.- Corte fino de las manchas negras en el exoesqueleto de *L. vannamei* con cuerpos esféricos citoplasmáticos y necrosis tisular. Fase de transición. MET. 12,000X. Brote 1999.

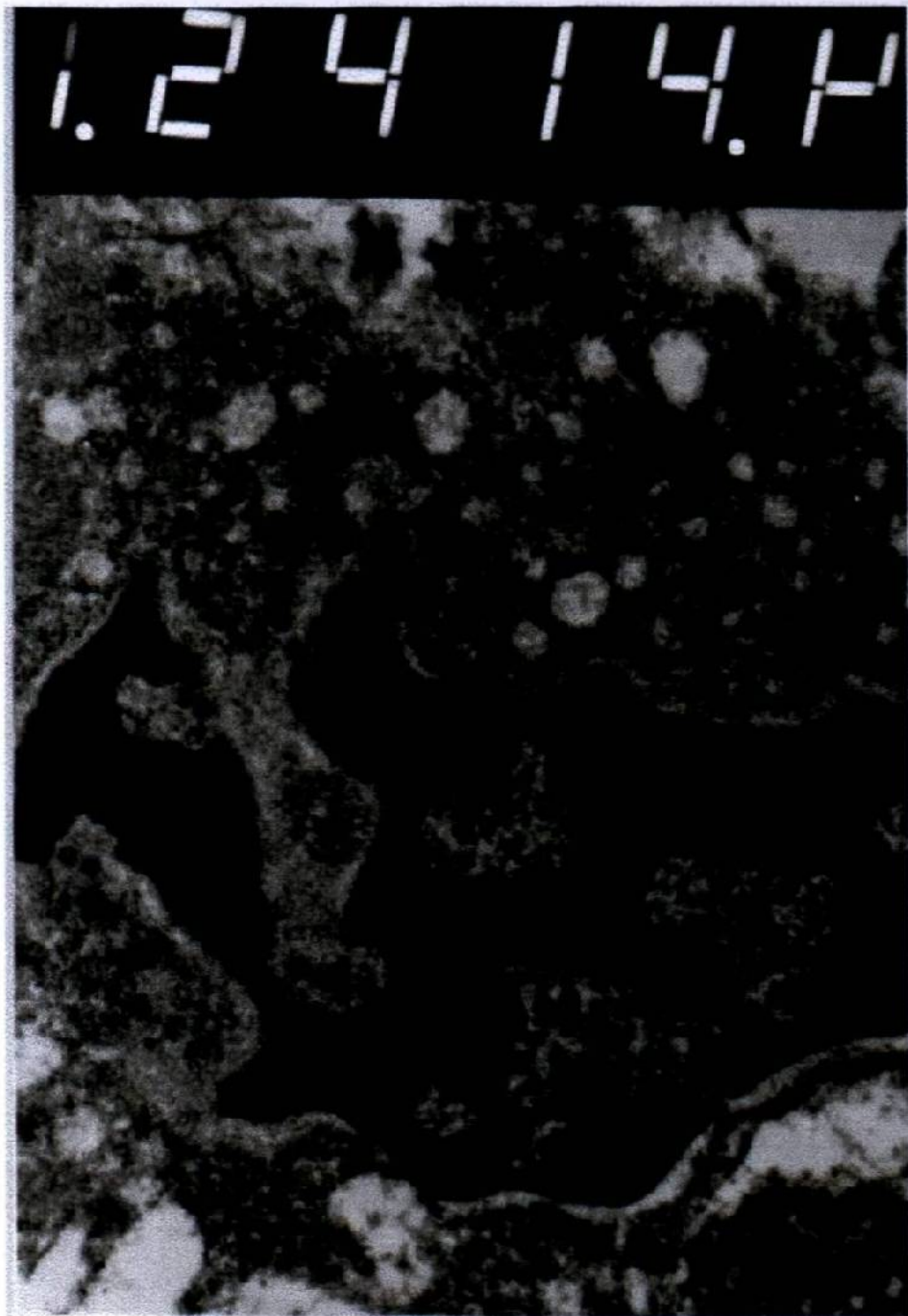


Figura 66.- Corte fino de las manchas negras en el exoesqueleto de *L. vannamei* con cuerpos esféricos citoplasmáticos y necrosis tisular. Fase de transición. MET. 12,000X. Brote 1999.



Figura 67.- Corte semifino de filamentos branquiales primarios con necrosis lamelar, hemocitos granulares e hipertrofia nuclear. Teñido con azul de toluidina-fucsina básica. Fase de transición. 2,000X. Brote 1999.

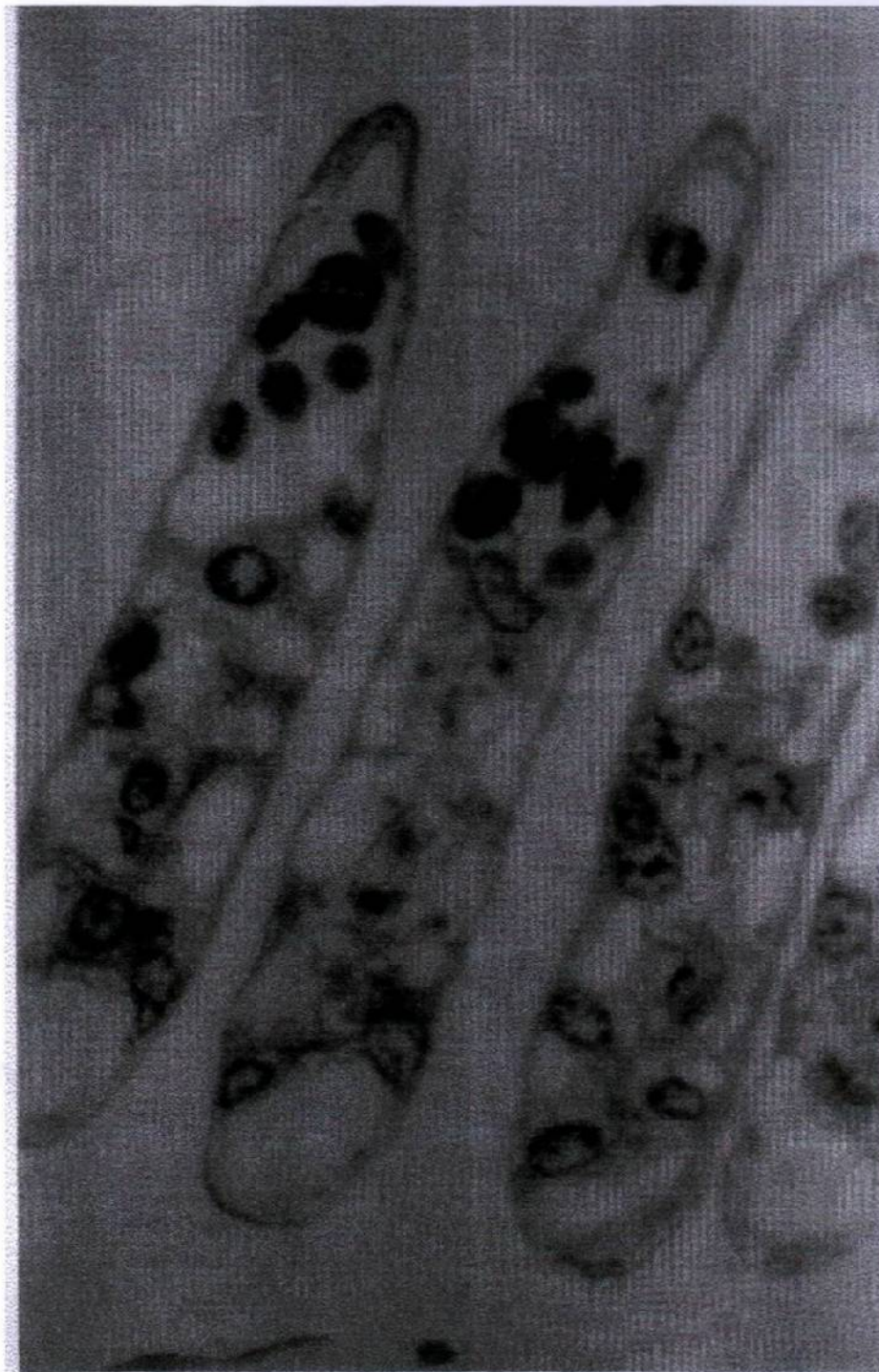


Figura 68.- Corte semifino de filamentos branquiales secundarios con separación de las células pilares y espacios interconectores y hemocitos granulares. Teñido con Azul de toluidina-fucsina básica. Fase de transición. 2,000X. Brote 1999.



Figura 69.- Corte fino de filamentos branquiales secundarios con hemocitos granulares y necrosis citoplasmática. Fase de transición. MET. 7,000X. Brote 1999.



Figura 70.- Corte fino de filamentos branquiales primarios mostrando hemocitos granulares y necrosis multifocal Fase de transición. MET: 7,000X. Brote 1999.

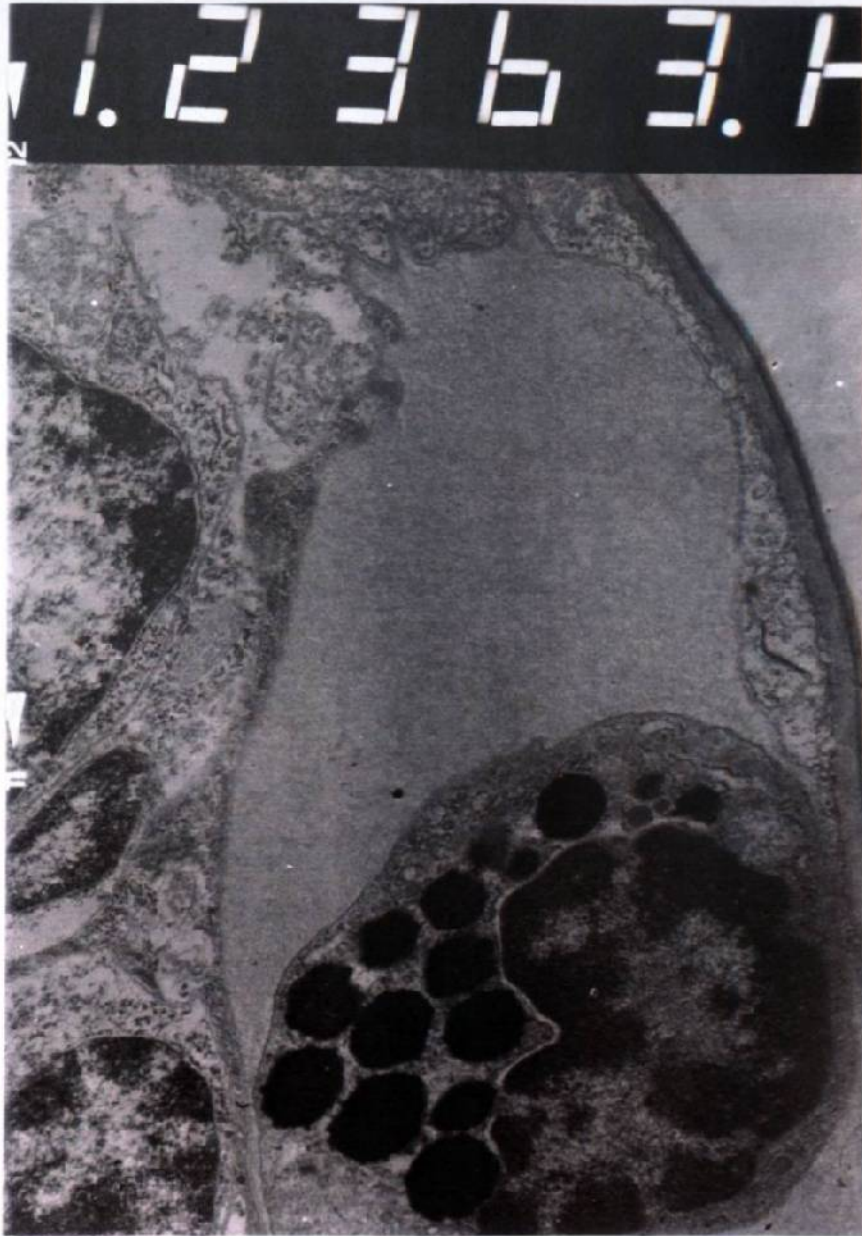


Figura 71.- Corte fino de filamentos branquiales secundarios con hipertrofia nuclear y granulos en un hemocito. Fase de transición. MET. 3,000X. Brote 1999.

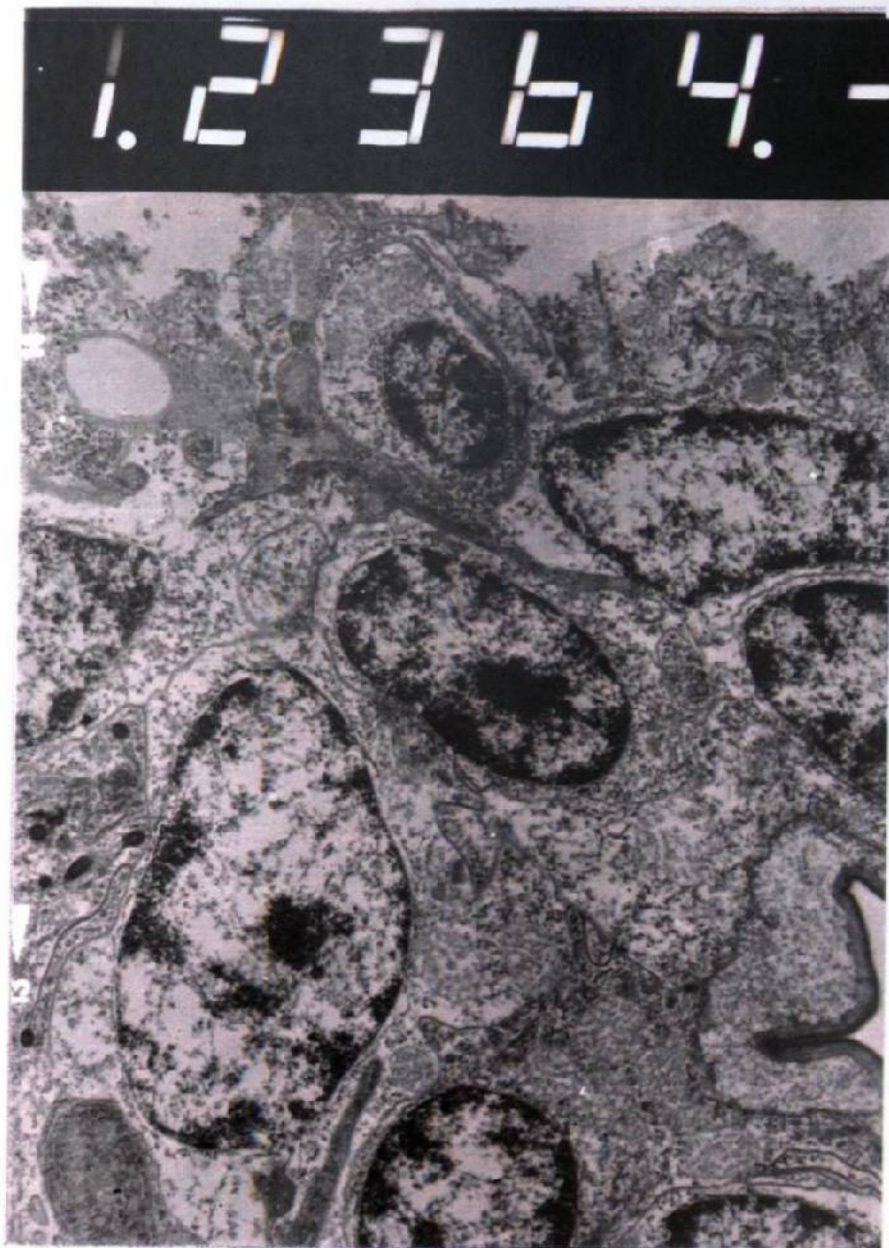


Figura 72.- Corte fino de filamentos branquiales secundarios con células hipertrofiadas y membrana celular necrosada. Fase de transición. MET. 3,000X. Brote 1999.